

図 24 PCM 法の濃度の平均値と F - 1 型 (No.870125) の表示濃度の平均値との関係
(ロックウール)

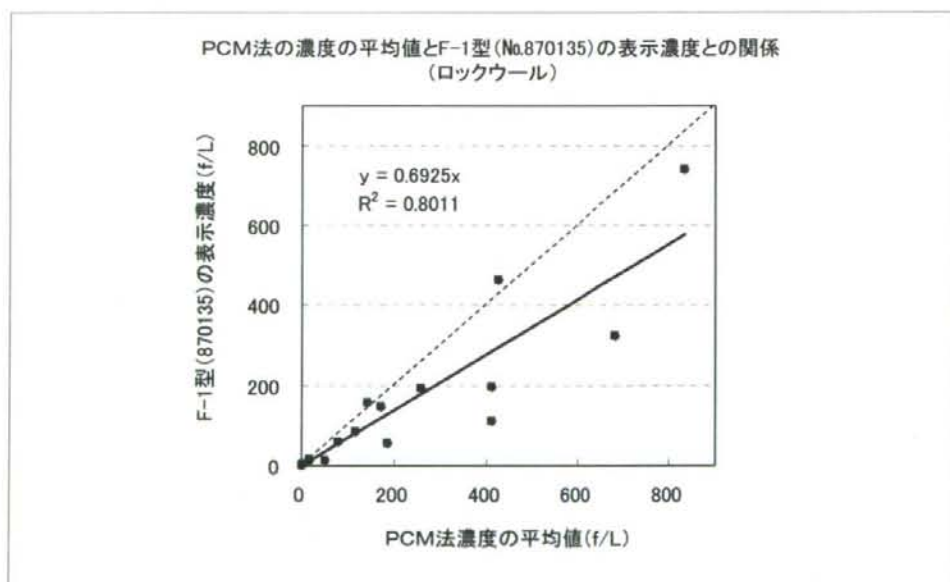


図 25 PCM 法の濃度の平均値と F - 1 型 (No.870135) の表示濃度の平均値との関係
(ロックウール)

PCM法の濃度の平均値とFNM-ME型の表示濃度の平均値との関係(クリソタイル)

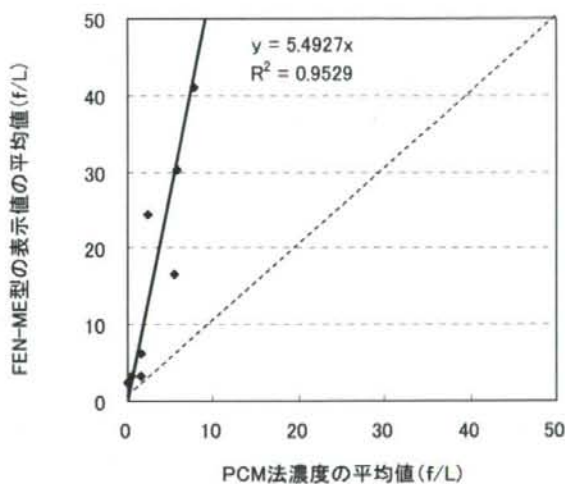


図 26 PCM 法の濃度の平均値と FNM-ME の表示濃度の平均値との関係
(クリソタイル)

PCM法の濃度の平均値とFNM-ME型の表示濃度の平均値との関係(クリソタイル)

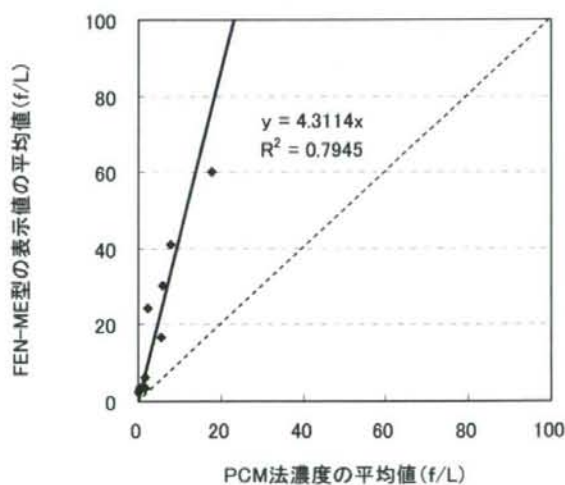


図 27 PCM 法の濃度の平均値と FNM-ME の表示濃度の平均値との関係
(クリソタイル)

PCM法の濃度の平均値とFNM-ME型の表示濃度の平均値との関係(クリソタイル)

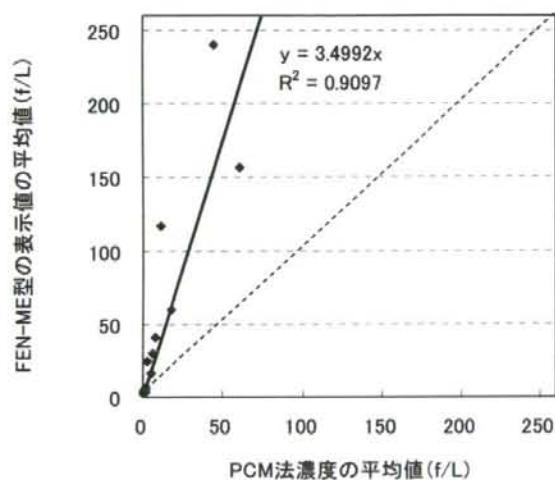


図 28 PCM 法の濃度の平均値と FNM-ME の表示濃度の平均値との関係
(クリソタイル)

PCM法の濃度の平均値とFNM-ME型の表示濃度の平均値との関係(クリソタイル)

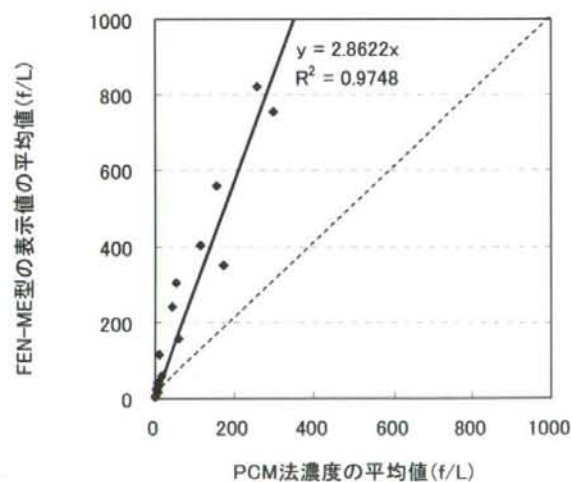


図 29 PCM 法の濃度の平均値と FNM-ME の表示濃度の平均値との関係
(クリソタイル)

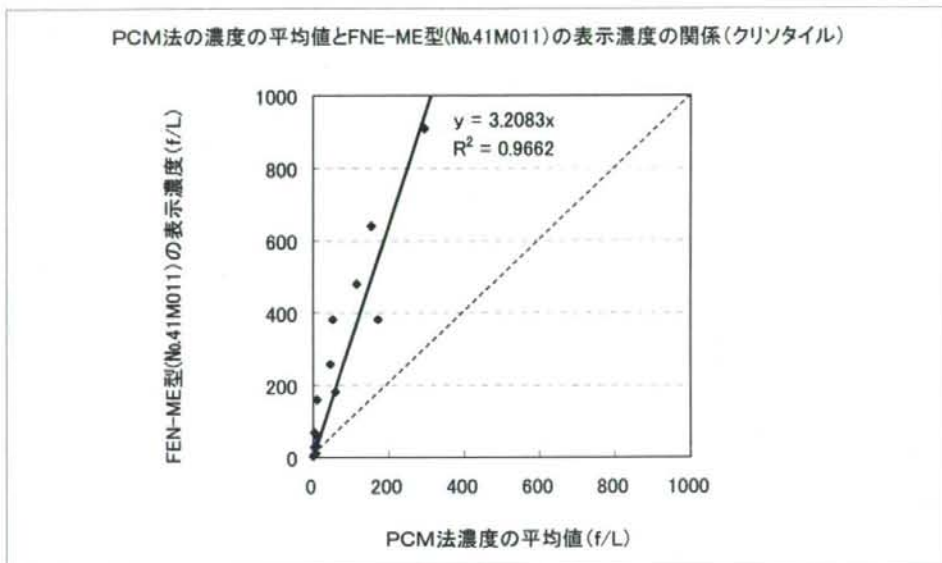


図 30 PCM 法の濃度の平均値と FNE-ME 型 (No.41M011) の表示濃度の平均値との関係 (クリソタイル)

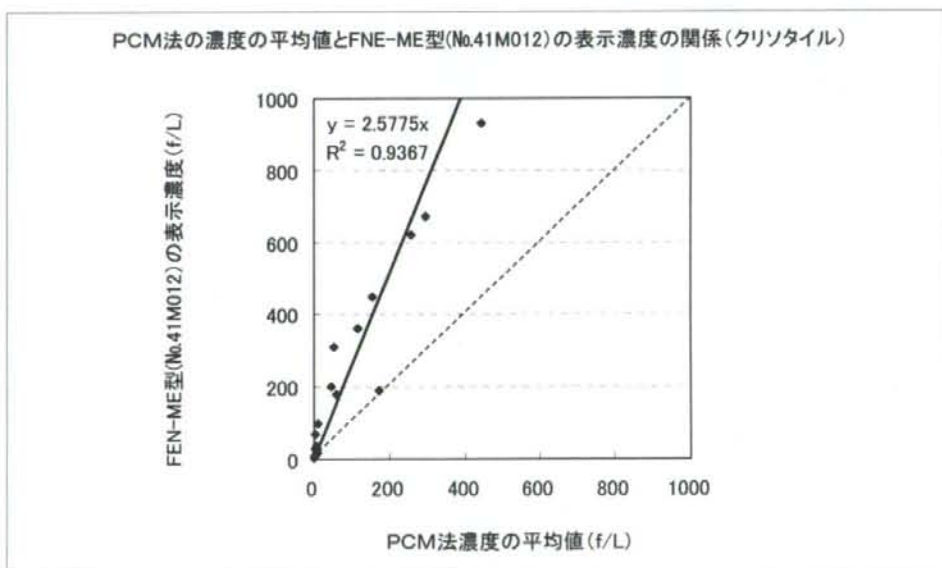


図 31 PCM 法の濃度の平均値と FNE-ME 型 (No.41M012) の表示濃度の平均値との関係 (クリソタイル)

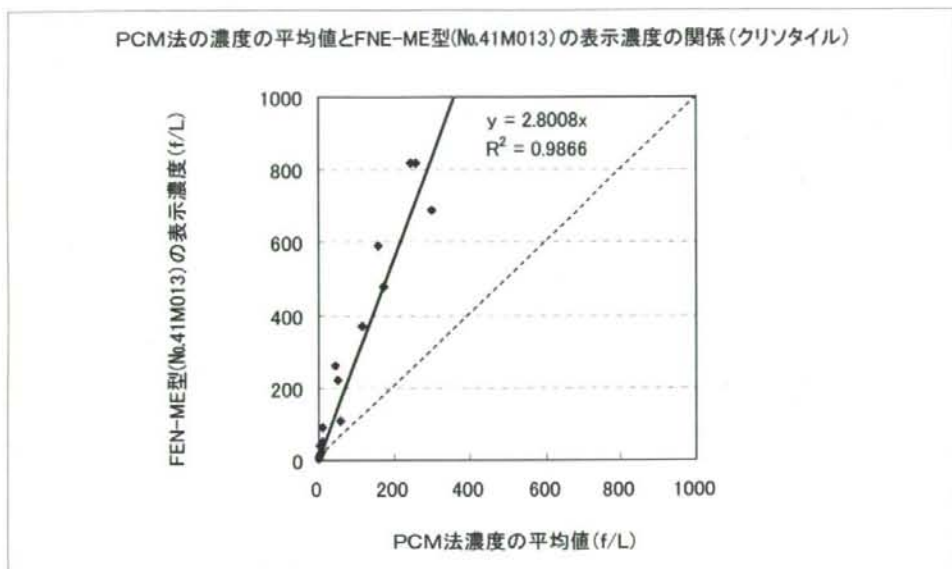


図 32 PCM 法の濃度の平均値と FNE-ME 型 (No.41M013) の表示濃度の平均値との関係 (クリソタイル)

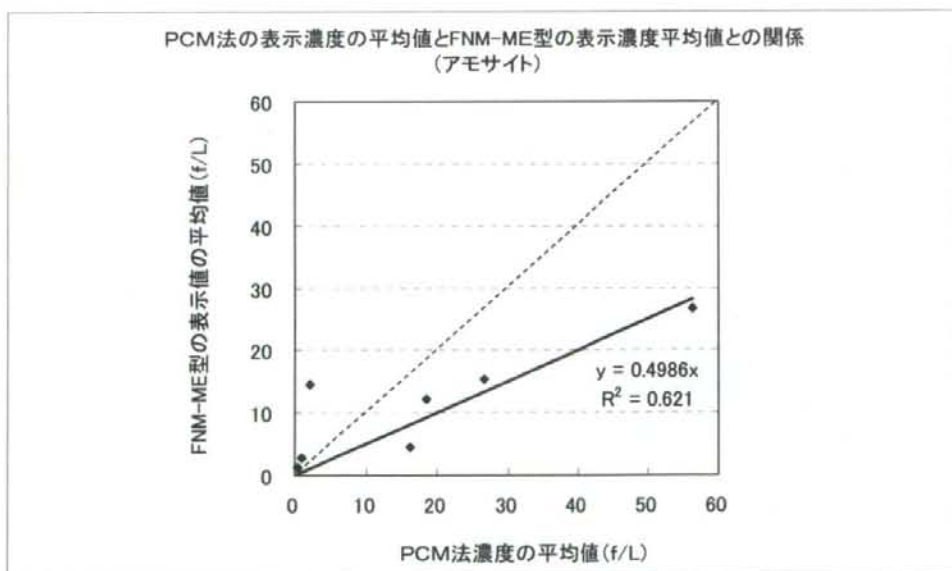


図 33 PCM 法の濃度の平均値と FNM-ME の表示濃度の平均値との関係 (アモサイト)

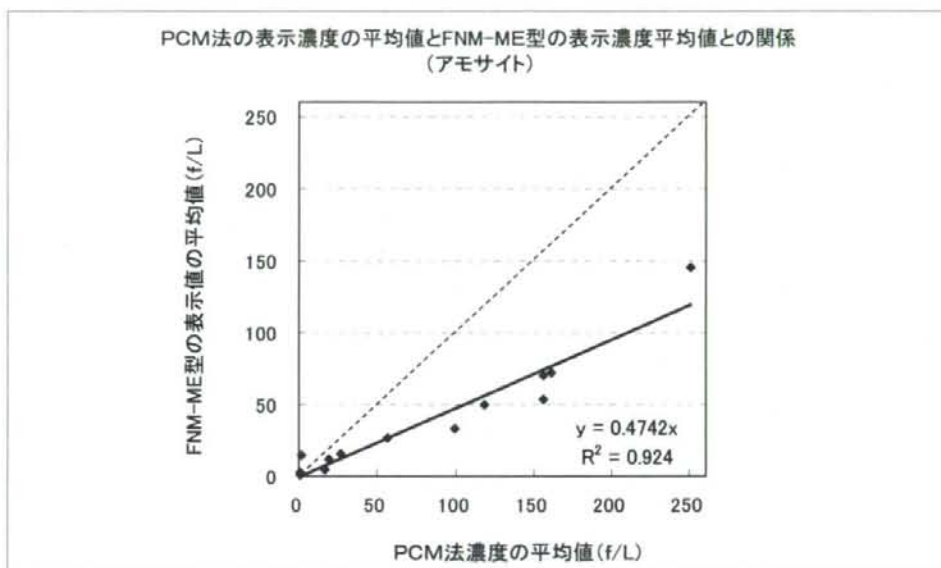


図 34 PCM 法の濃度の平均値と FNM-ME の表示濃度の平均値との関係
(アモサイト)

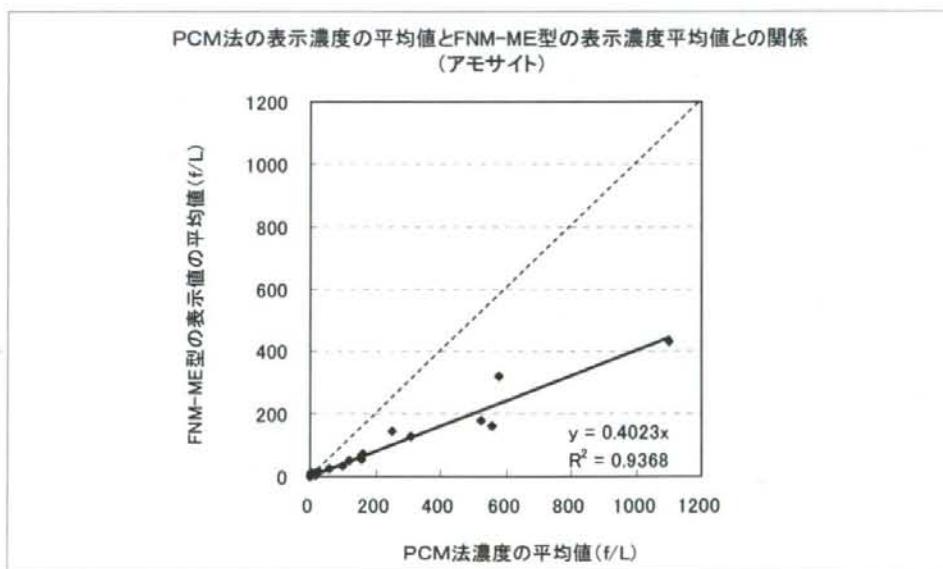


図 35 PCM 法の濃度の平均値と FNM-ME の表示濃度の平均値との関係
(アモサイト)

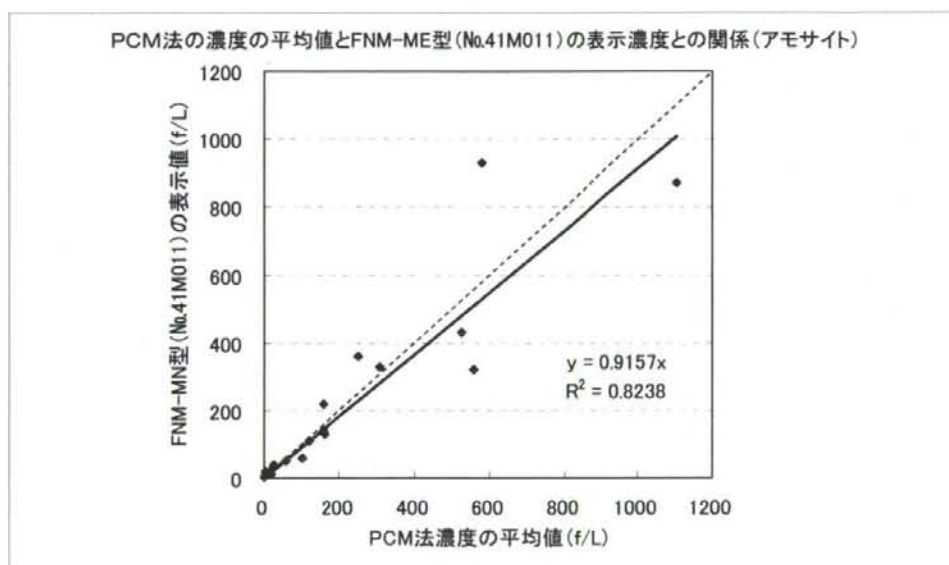


図 36 PCM 法の濃度の平均値と FNE-ME 型 (No.41M011) の表示濃度の平均値との関係 (アモサイト)

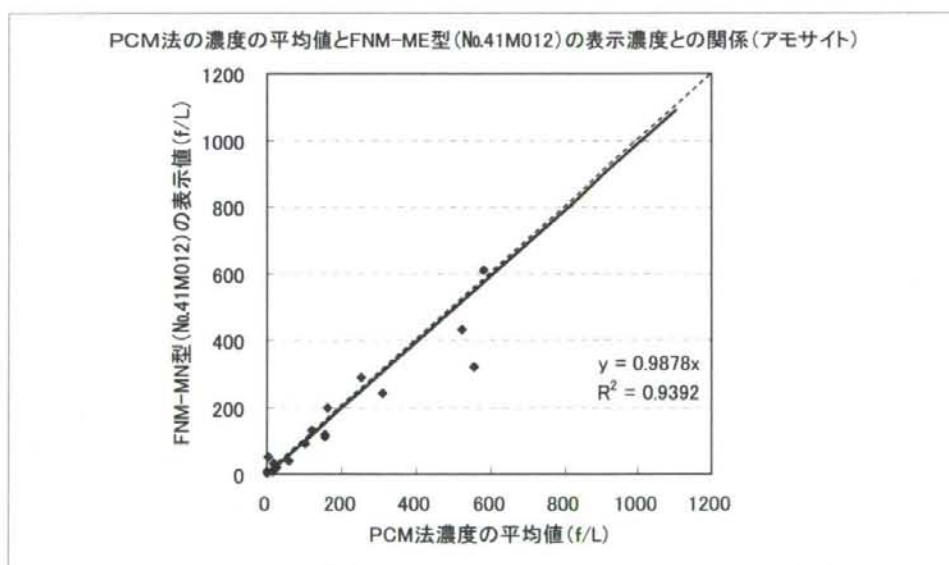


図 37 PCM 法の濃度の平均値と FNE-ME 型 (No.41M012) の表示濃度の平均値との関係 (アモサイト)

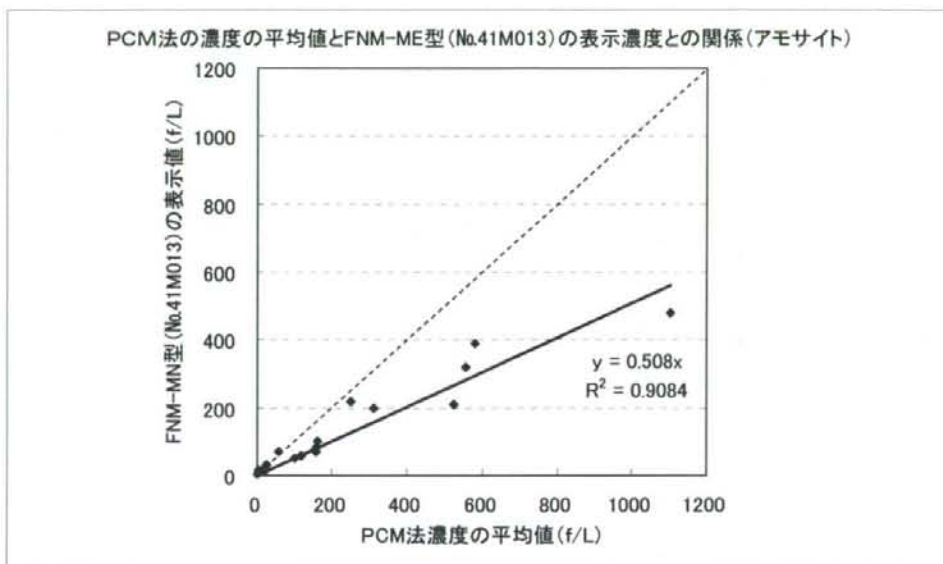


図 38 PCM 法の濃度の平均値と FNE-ME 型 (No.41M013) の表示濃度の平均値との関係 (アモサイト)

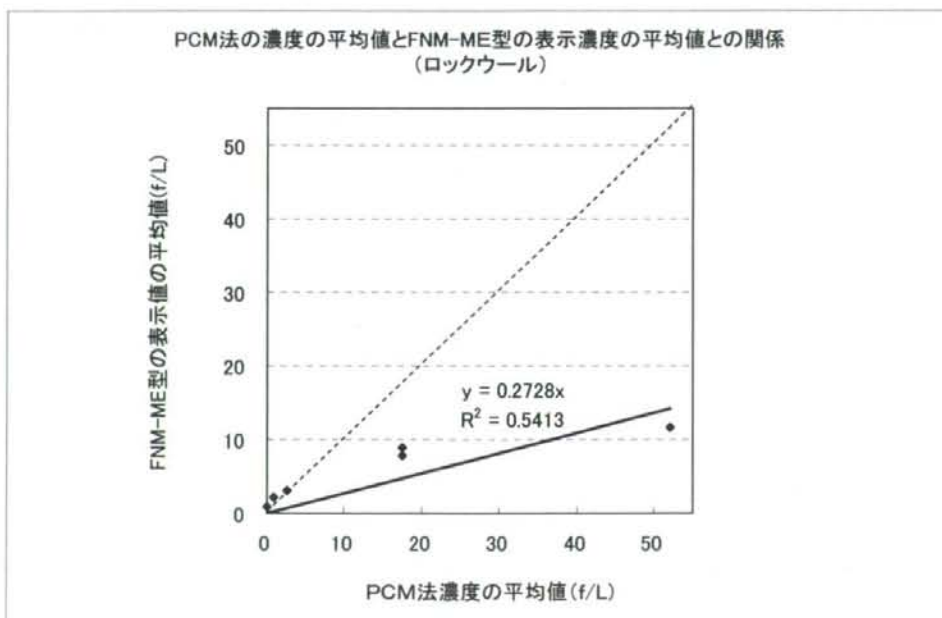


図 39 PCM 法の濃度の平均値と FNM-ME の表示濃度の平均値との関係 (ロックウール)

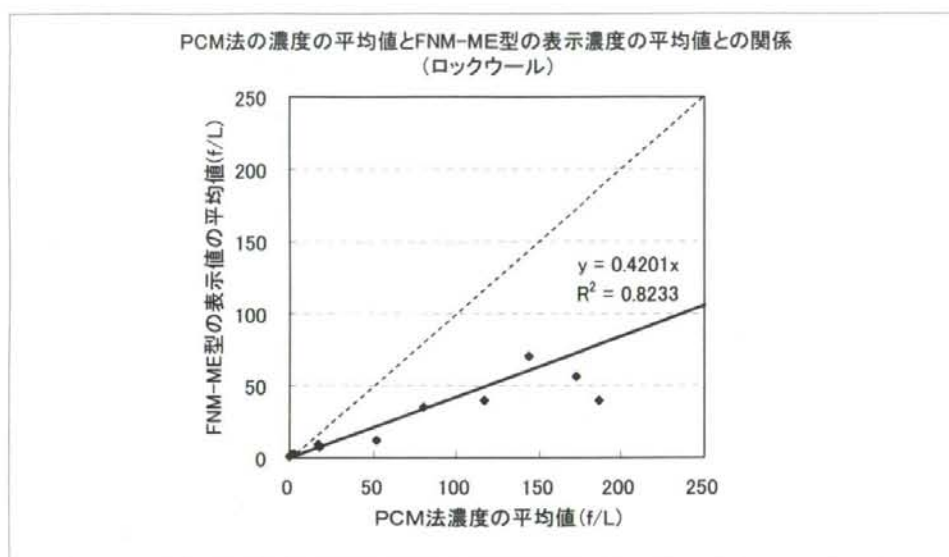


図 40 PCM 法の濃度の平均値と FNM-ME の表示濃度の平均値との関係
(ロックウール)

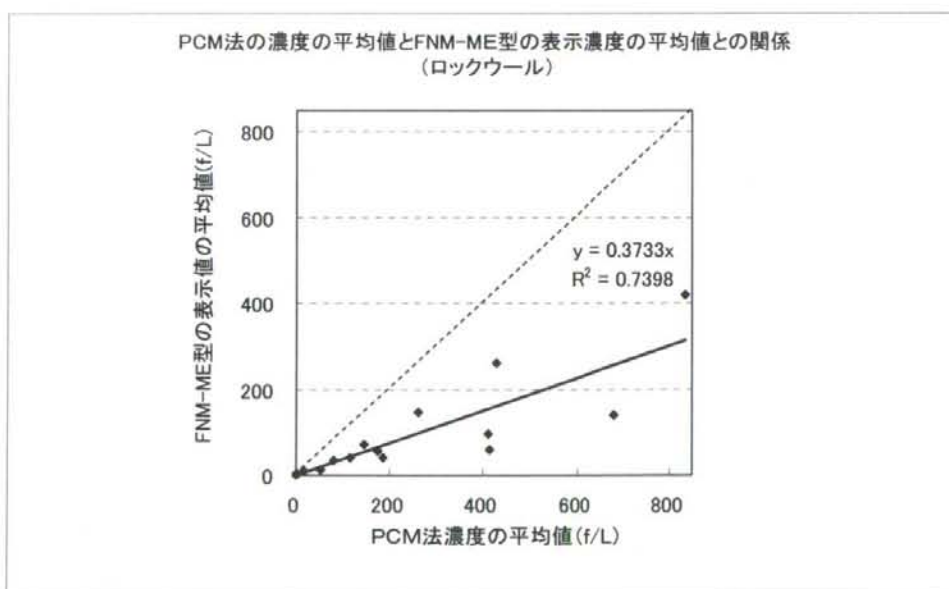


図 41 PCM 法の濃度の平均値と FNM-ME の表示濃度の平均値との関係
(ロックウール)

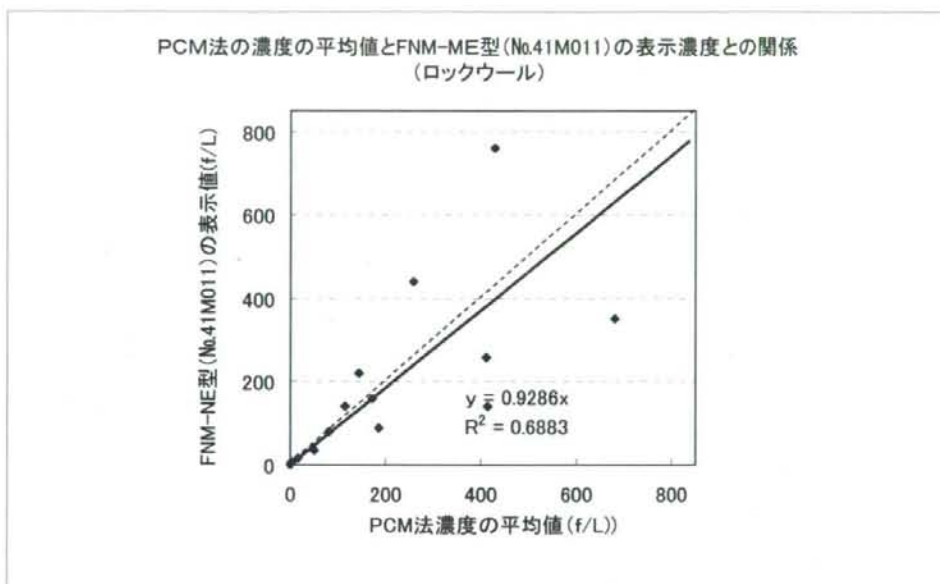


図 42 PCM 法の濃度の平均値と FNE-ME 型 (No.41M011) の表示濃度の平均値との関係
(ロックウール)

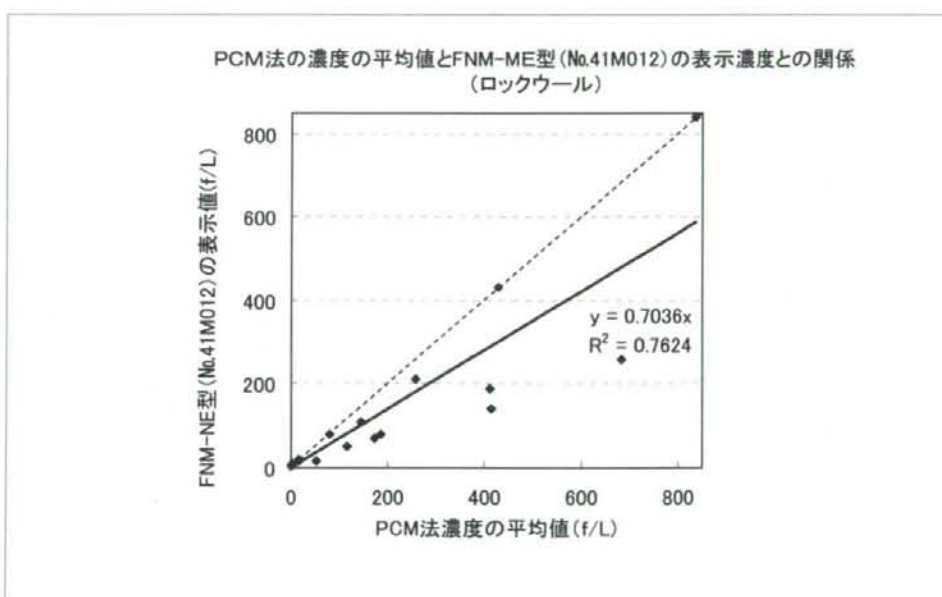


図 43 PCM 法の濃度の平均値と FNE-ME 型 (No.41M012) の表示濃度の平均値との関係
(ロックウール)

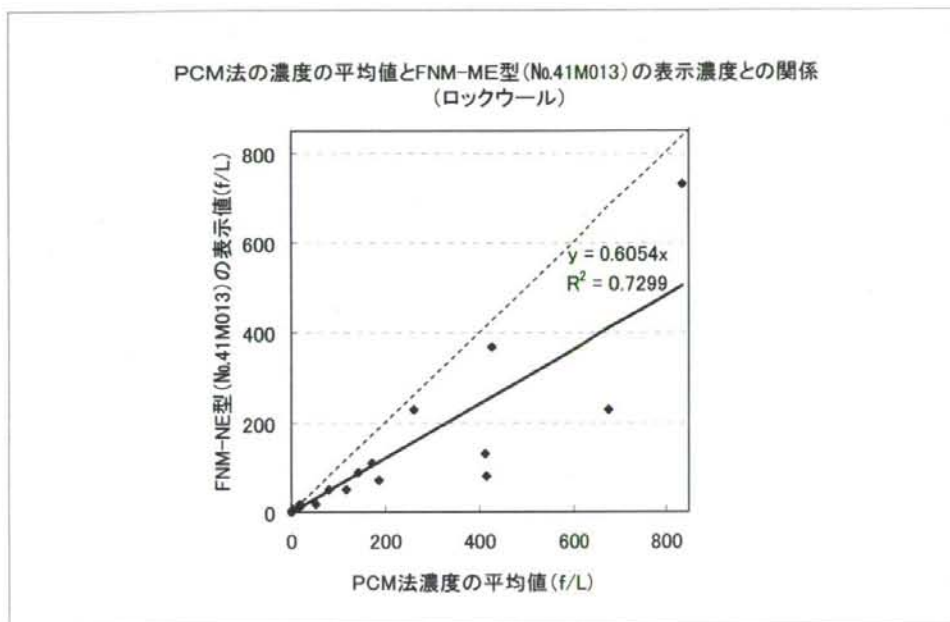


図 44 PCM 法の濃度の平均値と FNE-NE 型 (No.41M013) の表示濃度の平均値との関係
(ロックウール)

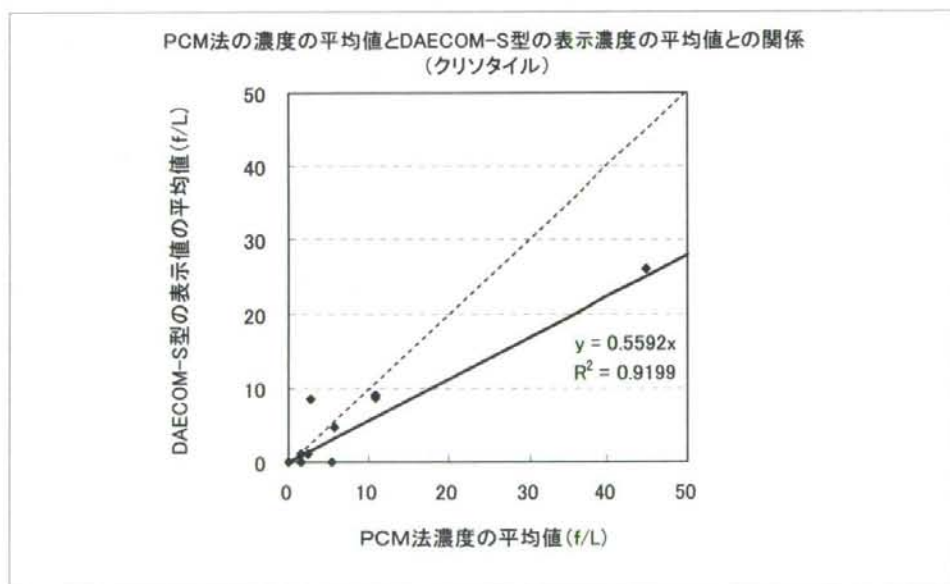


図 45 PCM 法の濃度の平均値と DAECOM-S の表示濃度の平均値との関係
(クリソタイル)

PCM法濃度の平均値とDAECOM-S型の表示濃度の平均値との関係(クリソタイル)

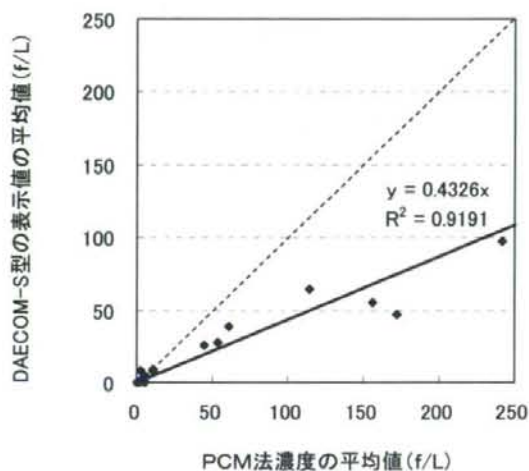


図 46 PCM 法の濃度の平均値と DAECOM-S の表示濃度の平均値との関係
(クリソタイル)

PCM法の濃度と平均値とDAECOM-S型の表示濃度の平均値との関係
(クリソタイル)

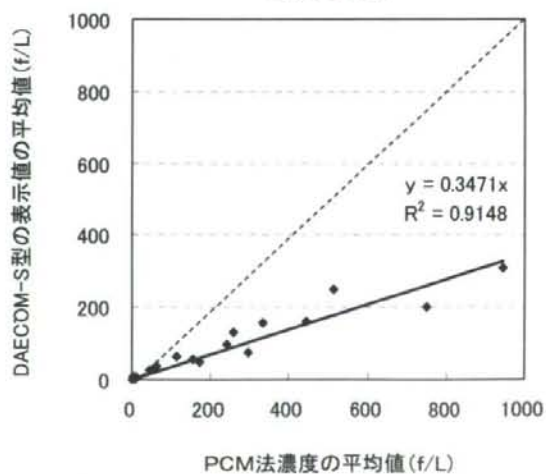


図 47 PCM 法の濃度の平均値と DAECOM-S の表示濃度の平均値との関係
(クリソタイル)

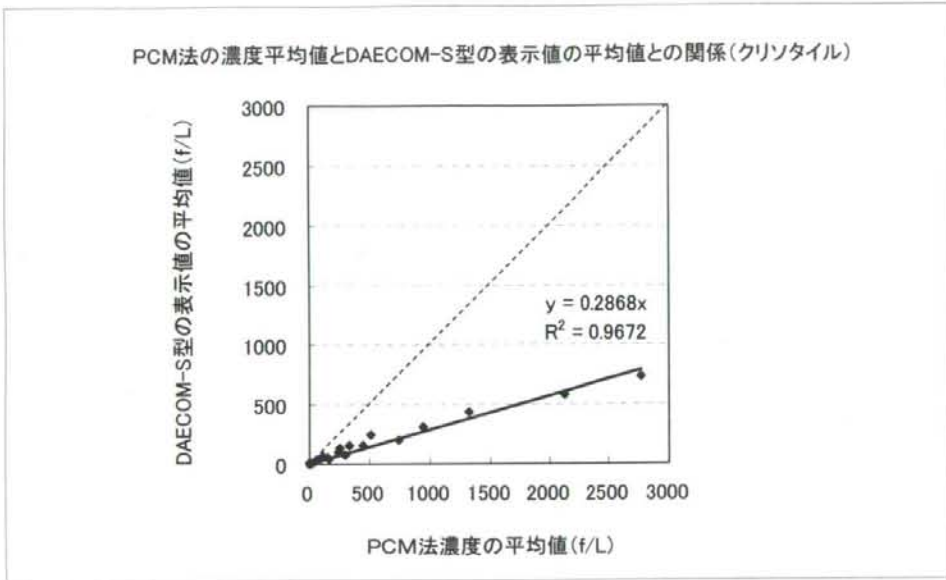


図 48 PCM 法の濃度の平均値と DAECOM-S の表示濃度の平均値との関係 (クリソタイル)

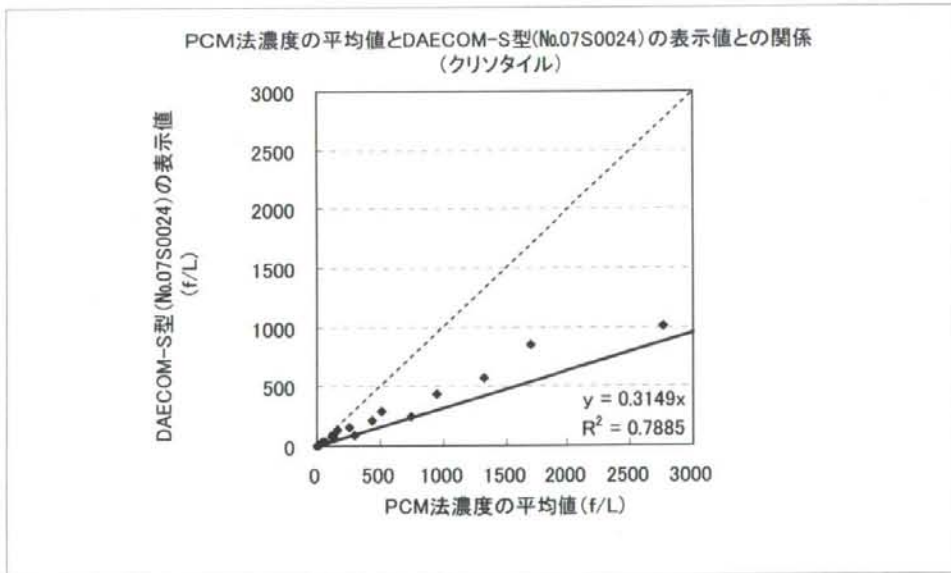


図 49 PCM 法の濃度の平均値と DAECOM-S 型 (No.07S0024) の表示濃度の平均値との関係 (クリソタイル)

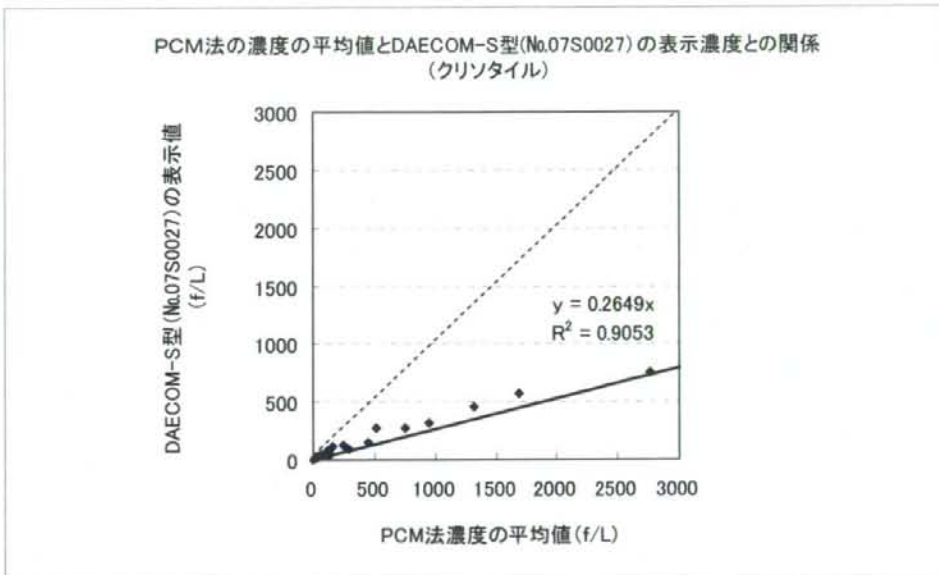


図 50 PCM 法の濃度の平均値と DAECOM-S 型 (No.07S0027) の表示濃度の平均値との関係 (クリソタイル)

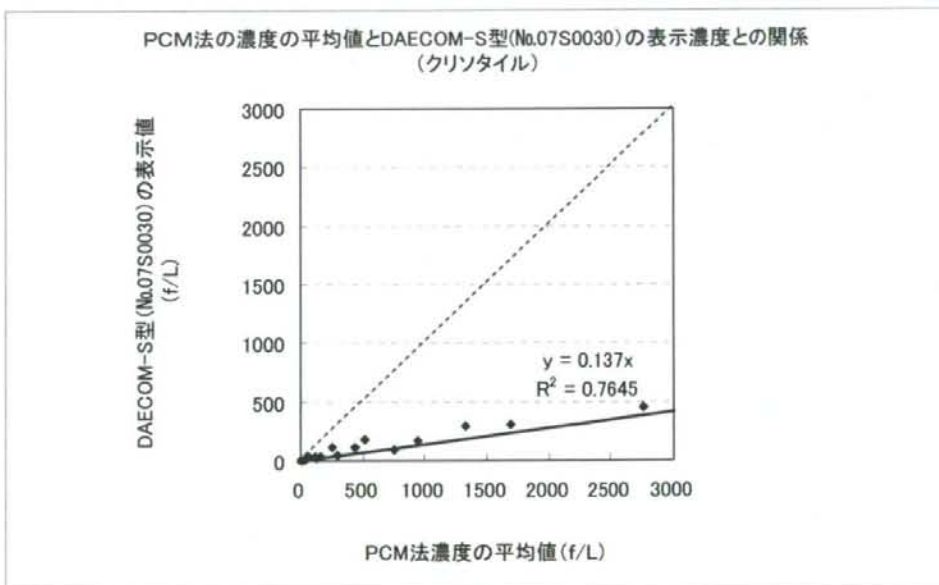


図 51 PCM 法の濃度の平均値と DAECOM-S 型 (No.07S0030) の表示濃度の平均値との関係 (クリソタイル)

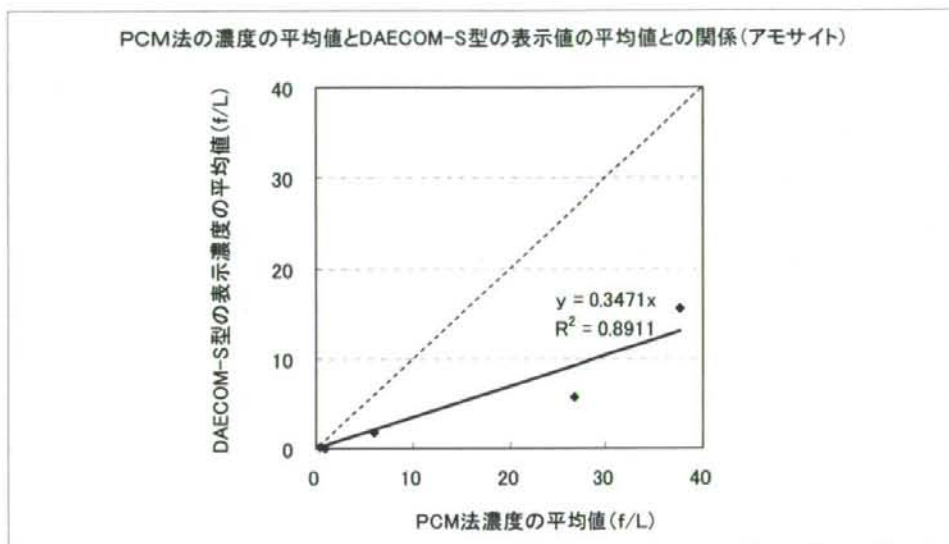


図 52 PCM 法の濃度の平均値と DAECOM-S 型の表示濃度の平均値との関係 (アモサイト)

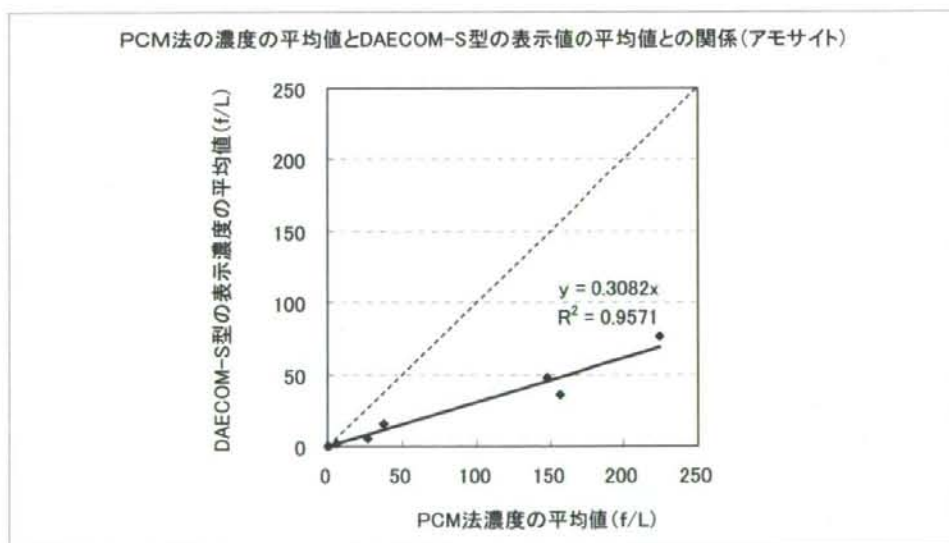


図 53 PCM 法の濃度の平均値と DAECOM-S 型の表示濃度の平均値との関係 (アモサイト)

PCM法の濃度の平均値とDAECOM-S型の表示値の平均値との関係(アモサイト)

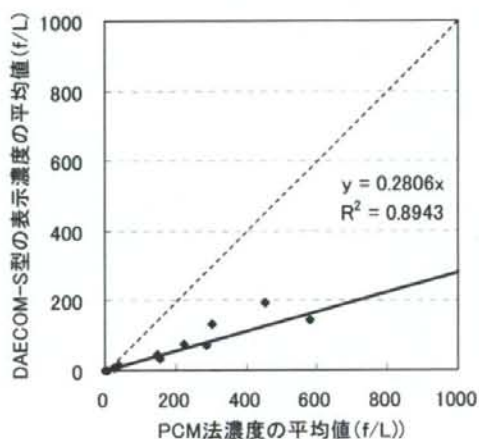


図 54 PCM 法の濃度の平均値と DAECOM-S 型の表示濃度の平均値との関係 (アモサイト)

PCM法の濃度の平均値とDAECOM-S型の表示値の平均値との関係(アモサイト)

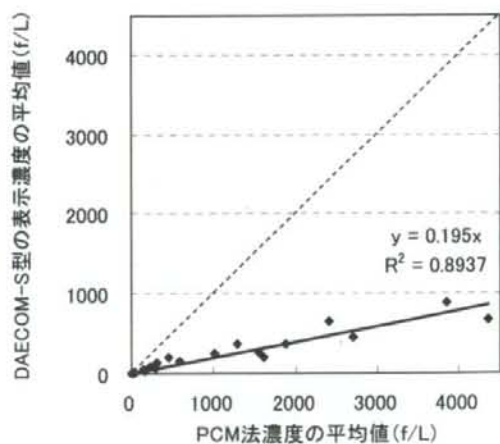


図 55 PCM 法の濃度の平均値と DAECOM-S 型の表示濃度の平均値との関係 (アモサイト)

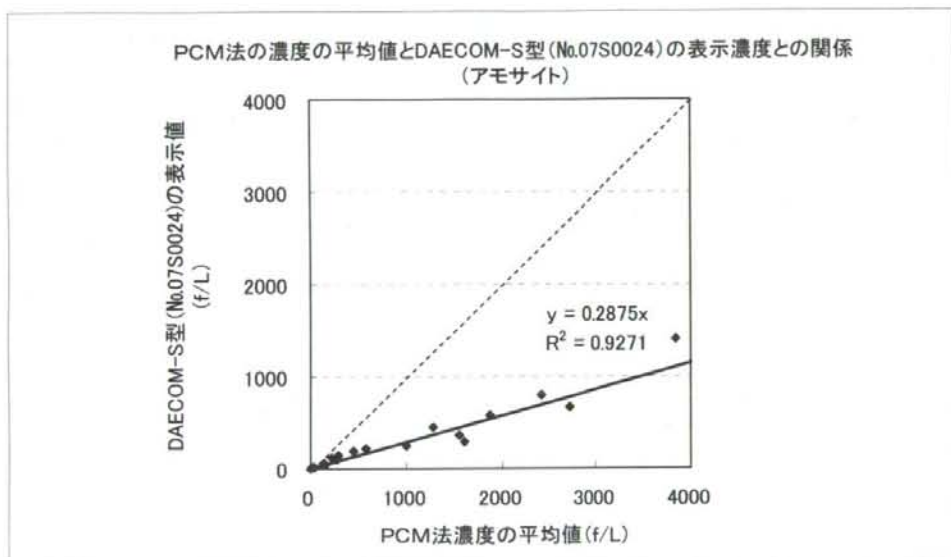


図 56 PCM 法の濃度の平均値と DAECOM-S 型 (No.07S0024) の表示濃度の平均値との関係 (アモサイト)

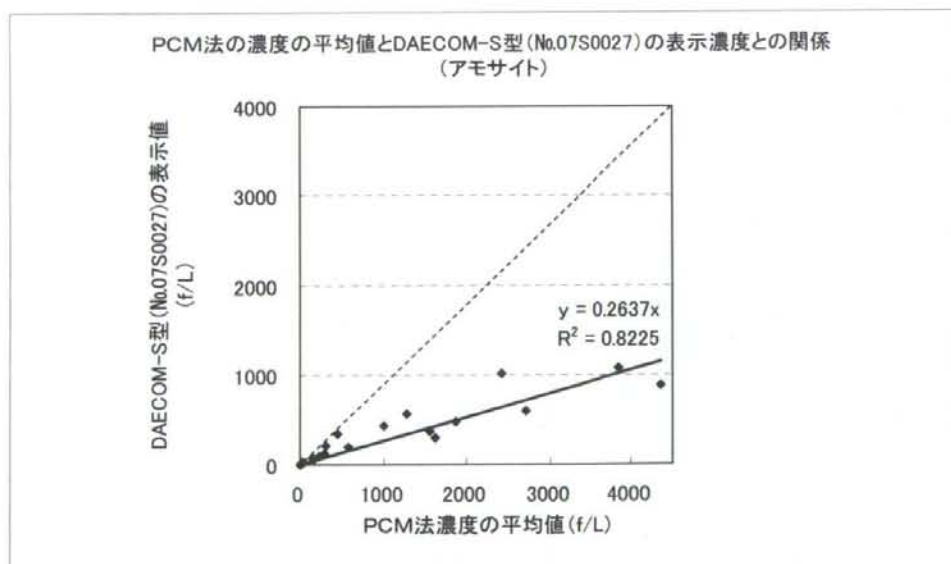


図 57 PCM 法の濃度の平均値と DAECOM-S 型 (No.07S0027) の表示濃度の平均値との関係 (アモサイト)

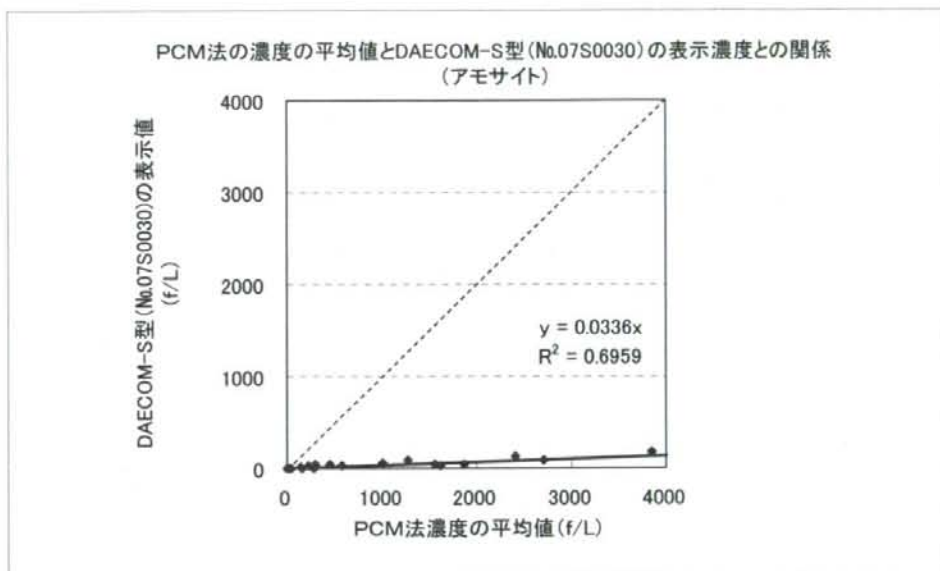


図 58 PCM 法の濃度の平均値と DAECOM-S 型 (No.07S0030) の表示濃度の平均値との関係 (アモサイト)

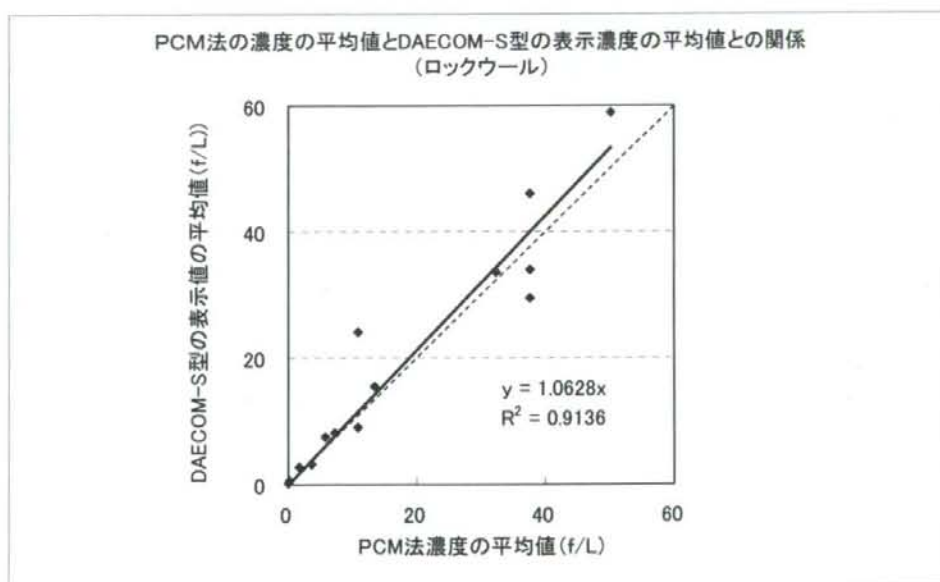


図 59 PCM 法の濃度の平均値と DAECOM-S 型の表示濃度の平均値との関係 (ロックウール)

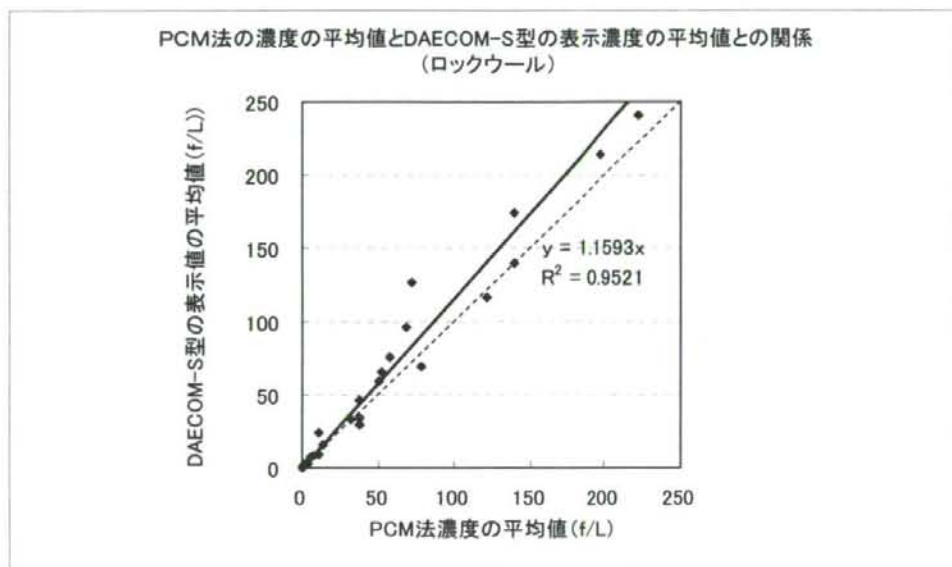


図 60 PCM 法の濃度の平均値と DAECOM-S 型の表示濃度の平均値との関係
(ロックウール)

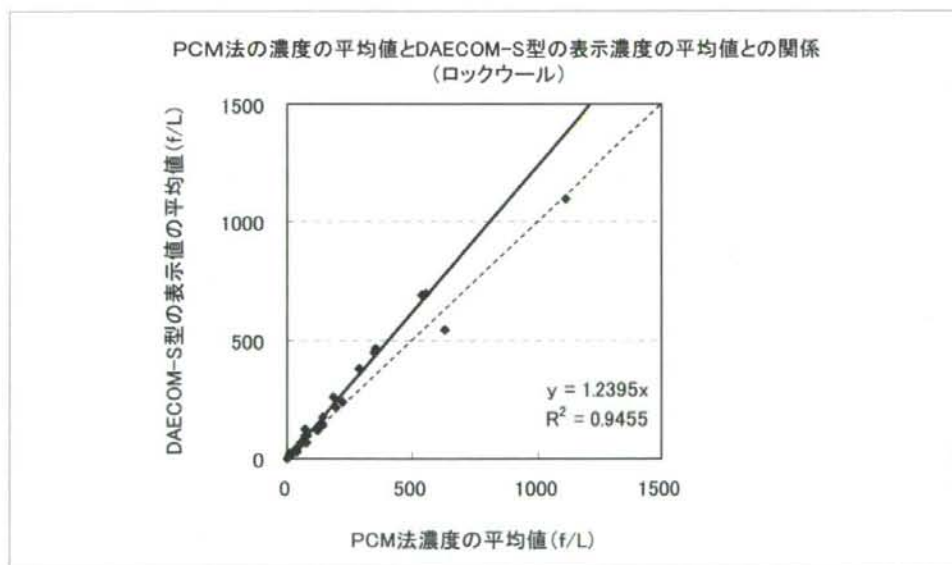


図 61 PCM 法の濃度の平均値と DAECOM-S 型の表示濃度の平均値との関係
(ロックウール)

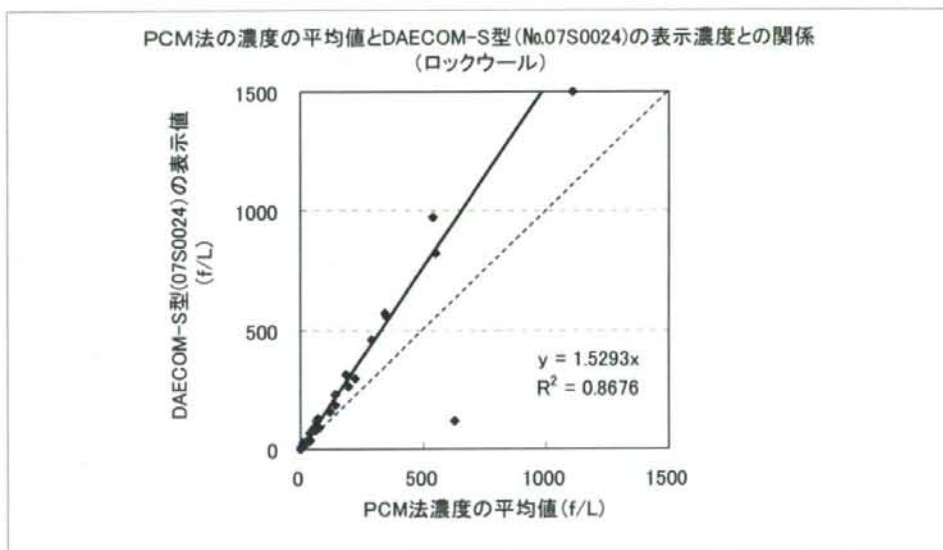


図 62 PCM 法の濃度の平均値と DAECOM-S 型 (No.07S0024) の表示濃度の平均値との関係 (ロックウール)

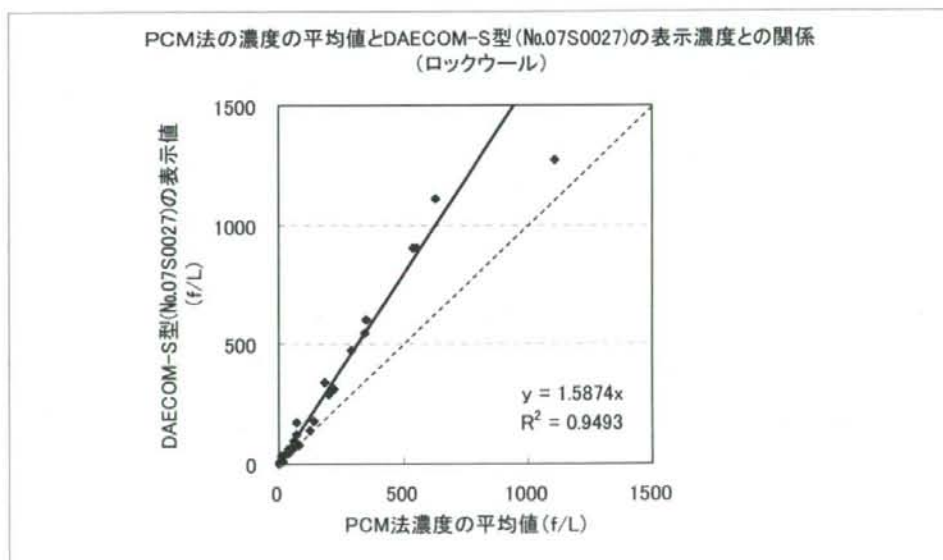


図 63 PCM 法の濃度の平均値と DAECOM-S 型 (No.07S0027) の表示濃度の平均値との関係 (ロックウール)